

ДГКС

Друштво грађевинских
конструктера Србије



ASES | S-30

Association of Structural
Engineers of Serbia

Simpozijum 2020
Symposium 2020

Uroš Mirković¹, Slobodan Radovanović², Nikola Divac³, Snežana Vulović⁴

UTICAJ ZAVESE I DRENAŽNIH BUŠOTINA NA FILTRACIONU SLIKU U TEMELJNOJ SPOJNICI GRAVITACIONIH BRANA

Rezime:

U radu je prikazana analiza uticaja injekcione zavese i drenažnih bušotina na filtracionu sliku u temeljnoj spojnici kod gravitacione brane. Analiza je urađena na MKE modelu dodate elektrane objekta HE „Đerdap 2“. Proračunom su dobijene filtracione sile za zadato stanje konturnih uslova kao i ukupna vrednost sile uzgona u zoni temeljne spojnica u četiri proračunske situacije.

Ključne reči: injekciona zavesa, drenažne bušotine, temeljna spojница, filtracija, uzgon, MKE

INFLUENCE OF CURTAIN AND DRAINAGE WELLS ON THE FILTRATION PICTURE IN THE FOUNDATION OF GRAVITY DAMS

Summary:

The paper presents an analysis of the influence of the injection curtain and drainage wells on the filtration image in the foundation joint at the gravity dam. The analysis was performed on the FEM model of the added power plant of the HPP "Đerdap 2". The calculation obtained filtration forces for a given state of contour conditions as well as the total value of uplift force in the zone of the foundation joint in four calculation situations.

Key words: injection curtain, drainage wells, foundation joint, filtration, uplift force, FEM

¹ mast. inž. grad., Institut za vodoprivredu „Jaroslav Černi“, Beograd, Republika Srbija, urkemir@gmail.com

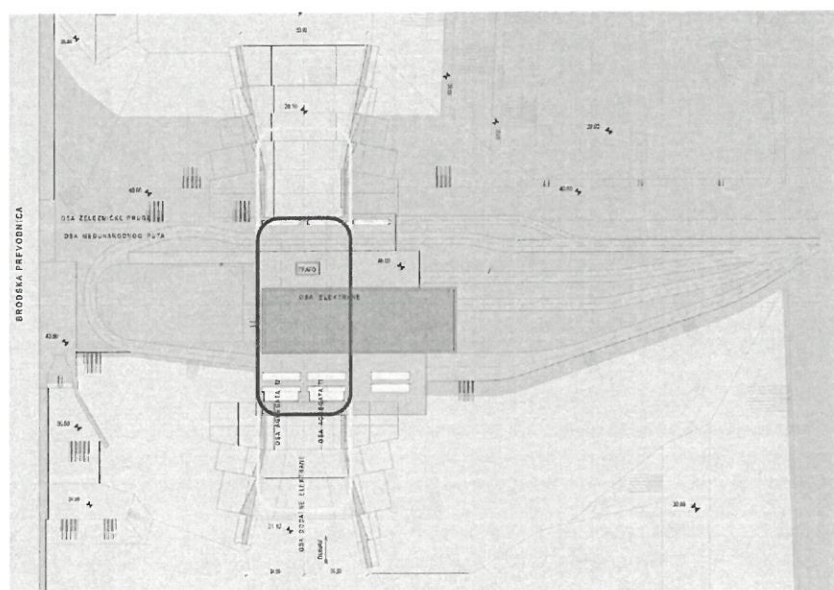
² mast. inž. grad., asistent, Građevinski fakultet i Institut za vodoprivredu „Jaroslav Černi“, Beograd, Republika Srbija, slobodan.radovanovic@jcerni.rs

³ mast. inž. grad., student doktorskih studija, Institut za vodoprivredu „Jaroslav Černi“, Beograd, Republika Srbija, nikola.divac@jcerni.rs

⁴ dr. naučni saradnik, Institut za informacione tehnologije, Univerzitet u Kragujevcu, Kragujevac, Republika Srbija, vsneza@kg.ac.rs

1. PODACI O OBJEKTU

Dodata elektrana objekta HE „Đerdap 2“ locirana je na glavnom toku Dunava, na prethodno izgrađenoj nasutoj brani između brodske prevodnice i desne obale. Osa dodatne elektrane nalazi se na 128,0 m od ose srpske prevodnice ka obali. Objekat se sastoji od bloka agregata u kome su smeštena 2 agregata snage po 27,0 MW i od montažnog bloka.



Slika 1 - Osnova dodatne elektrane objekta HE „Đerdap 2“

2. TEORIJSKE OSNOVE FILTRACIONIH PROCESA

Osnovnu jednačinu, koja definiše zakon strujanja podzemne vode (u laminarnom režimu tečenja), postavio je Darsi (Henry Darcy) 1856. godine. Darsijev zakon se može izraziti sledećom jednačinom:

$$q = -ki \quad (1)$$

gde je \mathbf{i} gradijent potencijala φ

$$i = \nabla \varphi \quad (2)$$

Potencijal je definisan kao:

$$\varphi = \frac{p}{\gamma} + h \quad (3)$$

gde je p porni pritisak tečnosti, γ specifična težina tečnosti, a h visina merenog mesta u vertikalnom pravcu, merena u odnosu na izabranu referentnu ravan (najčešće je referentna ravan nivo mora). [1]

Matrica permeabilnosti \mathbf{k} za ortotropni materijal ima oblik:

$$\mathbf{k} = \begin{bmatrix} k_x & 0 & 0 \\ 0 & k_y & 0 \\ 0 & 0 & k_z \end{bmatrix}$$

gde su k_x , k_y i k_z koeficijenti filtracije u x, y, z pravcu. Operator ∇ je

$$\nabla^T = \left[\frac{\partial}{\partial x} \quad \frac{\partial}{\partial y} \quad \frac{\partial}{\partial z} \right]$$

Na osnovu jednačine kontinuiteta $\nabla^T \mathbf{q} = \mathbf{0}$ i Darsijevog zakona (1), izvodi se hidrodinamička jednačina za nestacionarno strujanje, koja ima sledeći oblik:

$$\nabla^T (\mathbf{k} \nabla \varphi) + \mathbf{Q} = \mathbf{S} \frac{\partial \varphi}{\partial t} \quad (4)$$

gde je \mathbf{Q} zapremski fluks (izvor ili ponor, kao količina tečnosti po jedinici zapreme porozne sredine); \mathbf{S} je efektivna poroznost sloja podeljena sa debjinom sloja - za slobodno strujanje, a specifična izdašnost (akumulativnost) - za ograničeno (potopljeno) strujanje. Ukoliko je strujanje stacionarno desna strana jednačine (4) jednaka je nuli. [1]

Granični uslovi koji se sreću u rešavanju problema strujanja kroz poroznu sredinu, opisanog gornjim jednačinama mogu biti:

a) zadat potencijal

$$\varphi = \bar{\Phi}(t) \text{ na } \Gamma_1,$$

b) zadat površinski protok (fluks)

$$\mathbf{q}_n = \mathbf{n} \cdot \mathbf{q} = \bar{\mathbf{q}}(t) \text{ na } \Gamma_2.$$

Na slobodnoj površini i površini sa curenjem važe sledeći uslovi:

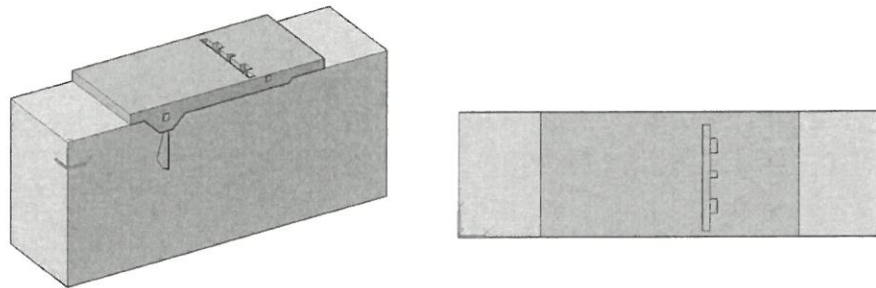
$$\mathbf{p} = \mathbf{0}, \varphi = z(t), \frac{\partial \varphi}{\partial n} = \mathbf{0} \text{ na } \Gamma_3.$$

gde su Γ_1 , Γ_2 , i Γ_3 delovi površine kontinuma, \mathbf{n} je normala na graničnu površinu, a t vreme. [1]

3. TRODIMENZIONALNI STRUKTURNI I MKE MODEL

Za potrebe izrade MKE modela dodatne elektrane najpre je formiran trodimenzionalni strukturni model obeleženog dela objekta (Slika 1, pri čemu je crveno - betonski deo dodatne elektrane a žuto - stenska masa). [2] Montažni blok dodatne elektrane nije uzet u obzir kao ni betonski deo objekta uzvodno i nizvodno od granice koja je označena crvenom bojom jer su isti dilatacionim razdelnicama odvojeni od glavnog betonskog dela objekta.

Trodimenzionalni geometrijski model (Slika 2) obuhvata deo dodatne elektrane ispod kote 14,1 mm sa pripadajućom stenskom masom. Dimenzije modela u osnovi su 128,4 x 38,0 m. Granice modela su produžene 25 m uzvodno i nizvodno od krajnjih ivica betonskog dela objekta koji je modeliran. Najniža kota modela je na -45,9 mm [2].

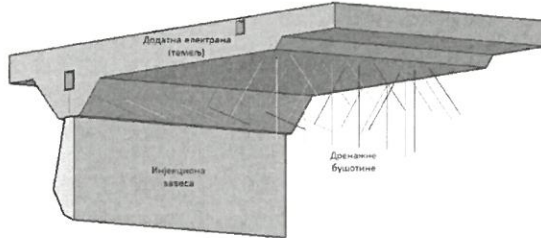


Slika 2 - Izgled geometrijskog modela dodatne elektrane

Za potrebe prikaza rezultata, postavljen je novi lokalni koordinatni sistem sa koordinatnim početkom u donjem levom ugлу (Slika 2), pozitivnim smerom X ose u pravcu toka reke i Y ose ka levoj obali.

Na objektu ne postoji injekciona zavesa i drenažne bušotine ali su za potrebe ove analize injekciona zavesa i 32 drenažne bušotine uvedeni u proračun kako bi se sagledali uticaji ovih elemenata na filtracionu sliku objekta (Slika 3).

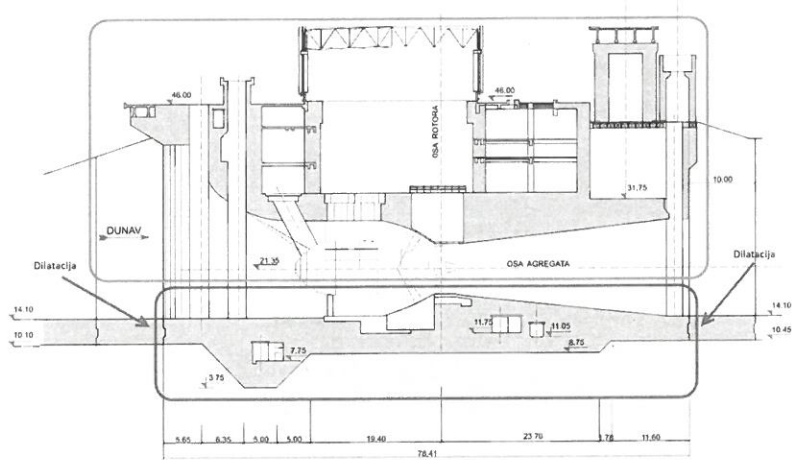
Betonski deo dodatne elektrane ispod kote 14,1 mm modeliran je jednim zapreminskim telom - 3D solidom. Pripadajuća stenska masa modelirana je jednim zapreminskim telom - 3D solidom. Injekciona zavesa modelirana je jednim zapreminskim telom - 3D solidom. Drenažne bušotine (32 kom.) su modelirane linijskim elementima.



Slika 3 - Prikaz elemenata modela

Na Slici 4, crvenom bojom je označen betonski deo objekta koji je modeliran za potrebe filtracione analize. Zeleno uokviren deo izostavljen je u filtracionim proračunima kao deo koji nije od značaja za filtracione procese.

U model uvedena injekciona zavesa, koja bi se izvela iz uzvodne galerije na kote 7,75 mm, ima više važnih uloga: smanjenje gubitka vode kroz temelje objekta, stabilnost tla odnosno objekta u odnosu na mehaničku sufoziju i sprečavanje mogućnosti stvaranja koncentrisanih tokova u tlu ispod objekta. Dubina modelirane injekcione zavese iznosi 15 m.



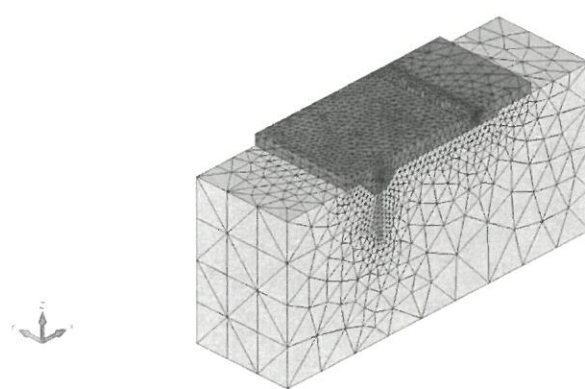
Slika 4 - Prikaz granica modeliranog betonskog dela dodatne elektrane

Modelirane drenažne bušotine imaju ulogu smanjenja uzgonskih pritisaka u zoni temeljne spojnica. Pretpostavljene su 32 drenažne bušotine koje su raspoređene u 9 profila. Dužina svake bušotine je 15 m. Prepostavka je da je prečnik svih drenažnih bušotina 85,0 mm.

Kao što je već ranije navedeno, trodimenzionalni model brane obuhvata i okolni teren i to 25 m nizvodno i uzvodno od krajnjih ivica betonskog dela objekta koji je modeliran, a po dubini do kote -45,9 mm.

Za potrebe modeliranja filtracionih procesa formiran je trodimenzionalni MKE model (Slika 5) primenom metode konačnih elemenata. [2]

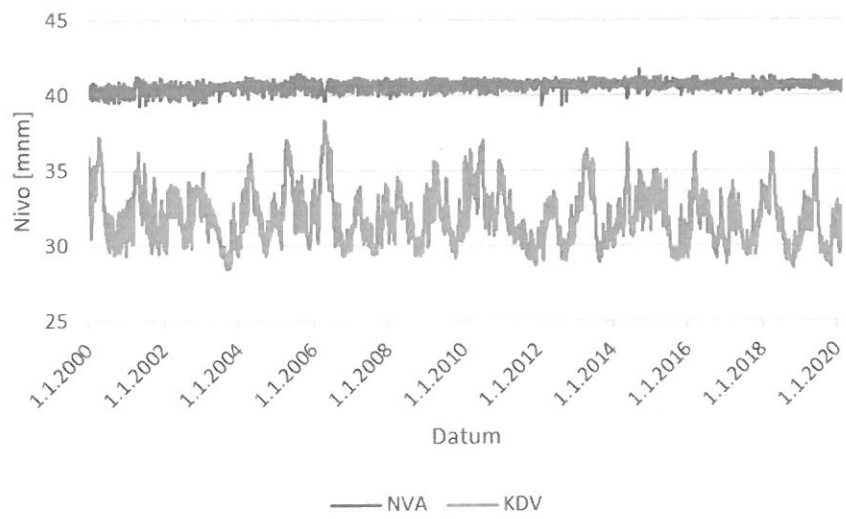
MKE model je formiran na osnovu prethodno izrađenog trodimenzionalnog struktturnog modela, inženjersko - geološke građe terena i eksplotacionih uslova na terenu. MKE model je formiran u programskom paketu FEMAP [3].



Slika 5 - Тродимензионални МКЕ модел

Mreža konačnih elemenata je kreirana korišćenjem tetraedarskih konačnih elemenata sa međučvorovima (10 čvorova po elementu). Model se sastoji od 205894 elemenata i 280255 čvorova.

Na uzvodnom licu terena i betona, zadat je potencijal koji je jednak koti gornje vode (41 mm - odgovara koti normalnog uspora), dok je na nizvodnom licu objekta i terena zadat potencijal koji je jednak koti donje vode (31 mm - približno prosečan nivo donje vode u toku 2017. godine).



Slika 6 - Prikaz nivoa gornje (NVA) i donje vode (KDV) u poslednjih 20 godina

Svi procesi koje opisuje MKE filtracioni model mogu se definisati kroz koeficijente filtracije k [m/s] kao materijalne parametre (parametri kojima je definisana vodopropusnost svake zone). Za modeliranje filtracionih procesa, kao parametri se definišu koeficijenti filtracije koji su dati u sledećoj tabeli za svaki od modeliranih elemenata. Parametri su usvojeni na osnovu dostupne dokumentacije o objektu kao i iz stručne literature.

Tabela 1 - Filtracioni parametri materijala korišćeni pri proračunu

Materijal	Koeficijent filtracije (m/s)
Betonski deo objekta	10^{-11}
Stenska masa	10^{-7}
Injekciona zavesa	10^{-9}
Drenažne bušotine	10^{-3}

4. PRORAČUNSKE SITUACIJE

Prva proračunska situacija podrazumeva slučaj kada u proračun nisu uključene ni injekciona zavesa ni drenažne bušotine.

Druga proračunska situacija podrazumeva slučaj kada je u proračun uključena injekciona zavesa dok su sve drenažne bušotine isključene.

Treća proračunska situacija podrazumeva slučaj kada su u proračun uključene sve drenažne bušotine dok je injekciona zavesa isključena.

Četvrta proračunska situacija podrazumeva slučaj kada su u proračun uključene i injekciona zavesa i drenažne bušotine.

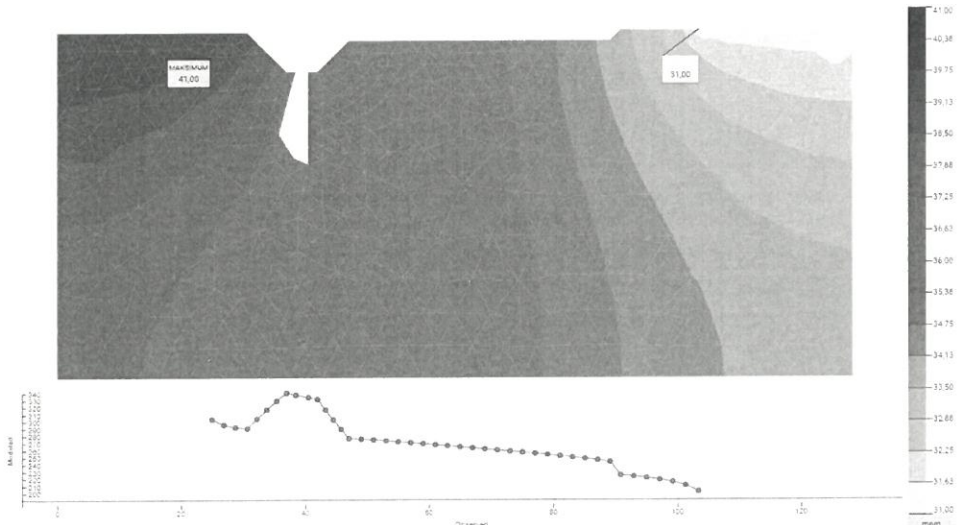
5. REZULTATI PRORAČUNA

Proračuni su izvršeni u programskom paketu PAK [4, 5].

Filtracioni proračun se sprovodi tako što se zadaju konturni uslovi po kotama gornje i donje vode u okviru proračunskih situacija. Kao rezultat dobijaju se filtracione sile za zadato stanje konturnih uslova i ukupna vrednost sile uzgona u zoni temeljne spojnica.

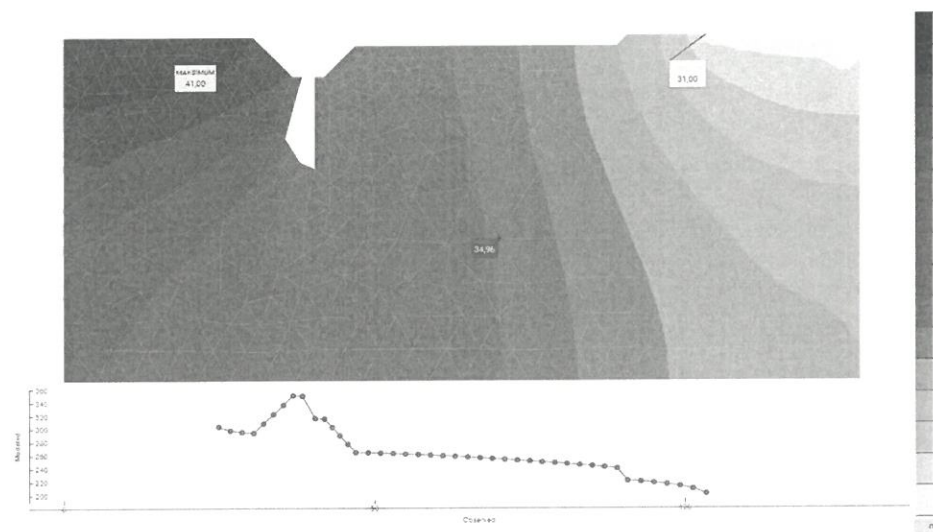
Prikaz rezultata je dat kroz presek po osi bloka dodatne elektrane.

Ukupna vrednost sile uzgona na spojnici između betona i stenske mase za prvu proračunsку situaciju (nisu uključene ni injekciona zavesa ni drenažne bušotine) iznosi $U = 631\ 205\ KN$.



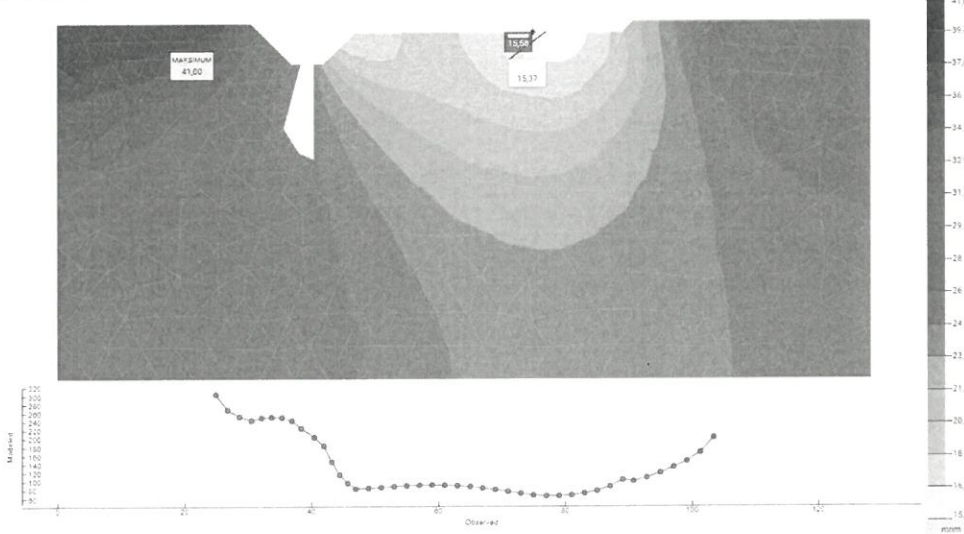
Slika 7 - Pijezonivo [mm] i porni pritisak [kPa] za prvu proračunsku situaciju

Ukupna vrednost sile uzgona na spojnici između betona i stenske mase za drugu proračunsku situaciju (uključena injekciona zavesa dok su sve drenažne bušotine isključene) iznosi $U = 617\ 818\ KN$.



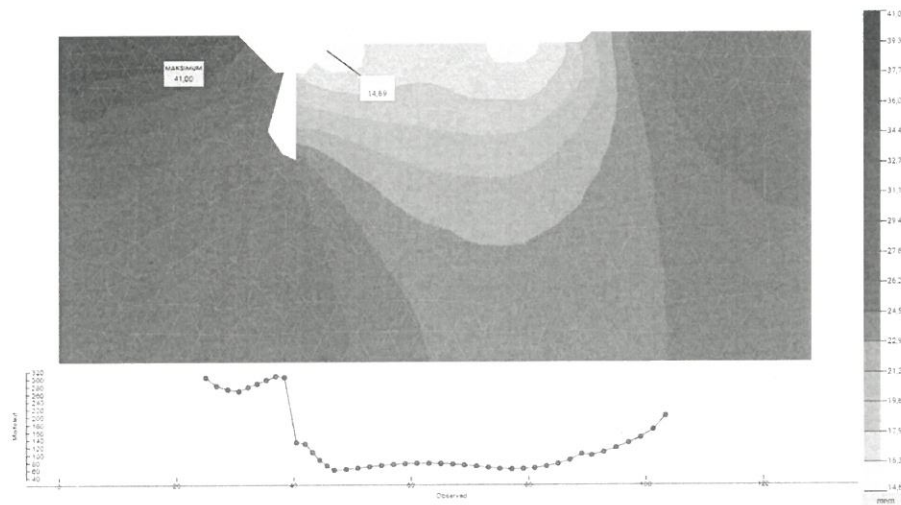
Slika 8 - Pijezonivo [mm] i porni pritisak [kPa] za drugu proračunsku situaciju

Ukupna vrednost sile uzgona na spojnici između betona i stenske mase za treću proračunsku situaciju (uključene sve drenažne bušotine dok je injekciona zavesa isključena) iznosi $U = 255\ 541$ KN.



Slika 9 - Pijezonivo [mm] i porni pritisak [kPa] za treću proračunsku situaciju

Ukupna vrednost sile uzgona na spojnici između betona i stenske mase za četvrtu proračunsku situaciju (uključene i injekciona zavesa i drenažne bušotine) iznosi $U = 244\ 387$ KN.



Slika 10 – Pijezonivo [mnm] i porni pritisak [kPa] za četvrtu proračunsku situaciju

6. ZAKLJUČAK

Na osnovu prikazanih rezultata, može se uočiti značajna promena sile uzgona kombinovanjem dva sistema koji se najčešće primenjuju za redukciju ove sile kod gravitacionih betonskih brana. Najveća uzgonska sila javlja se u slučaju kada konstrukcija nema niti jedan od prikazanih sistema. Sa druge strane, najmanja sila javlja se u slučaju kada objekat ima izvedenu injekcionu zavesu i sistem pravilno raspoređenih drenažnih bušotina. Posmatrajući ove sisteme izdvojeno, na posmatranom modelu i za definisane parametre materijala, značajno bolji efekat se postiže izvođenjem drenažnih bušotina u odnosu na izvedenu injekcionu zavesu..

LITERATURA

- [1] Institut za vodoprivredu “Jaroslav Černi”, Sistem za upravljanje bezbednošću brane HE “Đerdap 2” v2019, Knjiga 9 - Izveštaj o teorijskim osnovama, algoritmima i numeričkim solverima MKE modela termičkih, filtracionih i naponsko-deformacionih procesa, Beograd, 2019.
- [2] Institut za vodoprivredu “Jaroslav Černi”, Sistem za upravljanje bezbednošću brane HE “Đerdap 2” v2019, Knjiga 10 - Izveštaj o preliminarnim analizama primenom MKE modela filtracionih i naponsko - deformacionih procesa na brani, Beograd, 2019.
- [3] Siemens. FEMAP User Guide Version 11.2 2015.
- [4] Živković M, Vulović S, Kojić M, Slavković R, Grujović N. Program for FE Analysis of Flow Through Porous Media, 2019.
- [5] Živković M, Vulović S, Kojić M, Slavković R, Grujović N. User manual and examples for PAK-P - Program for FE Analysis of Flow Through Porous Media, Kragujevac: Faculty of Engineering, University of Kragujevac, 2019.

Društvo građevinskih konstruktera Srbije

SIMPOZIJUM 2020

13-15. maj 2021- ARANĐELOVAC

ZBORNIK RADOVA SA NACIONALNOG SIMPOZIJUMA DGKS



U SARADNJI SA

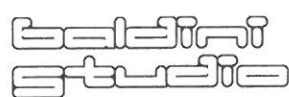


Република Србија
Министарство
просвете, науке и
технолошког развоја

POKROVITELJ



PLATINASTI SPONZORI



INTERNATIONAL

STRABAG
TEAMS WORK.

PUT INŽENJERING

ZLATNI SPONZORI



CIP - Каталогизација у публикацији
Народна библиотека Србије, Београд

624(082)(0.034.2)
69(082)(0.034.2)

ДРУШТВО грађевинских конструктора Србије. Симпозијум 2020 (2021 ; Аранђеловац)

Zbornik radova sa Nacionalnog simpozijuma DGKS [Elektronski izvor] / Društvo građevinskih konstruktera Srbije, Simpozijum 2020, 13-15. maj 2021, Arandelovac ; [urednici Zlatko Marković, Ivan Ignjatović, Boško Stevanović]. - Beograd : Univerzitet, Građevinski fakultet : Društvo građevinskih konstruktera Srbije, 2021 (Arandelovac : Grafopak). - 1 USB fleš memorija ; 5 x 2 x 1 cm

Sistemski zahtevи: Nisu navedeni. - Nasl. sa naslovne strane dokumenta. - Radovi na srp. i engл. jeziku. - Tiraž 200. - Bibliografija uz svaki rad. - Summaries.

ISBN 978-86-7518-211-5 (GF)

a) Грађевинарство -- Зборници
COBISS.SR-ID 37696777

Izdavač: Univerzitet u Beogradu Građevinski fakultet
Beograd, Bulevar kralja Aleksandra 73/I

Suizdvač: Društvo građevinskih konstruktera Srbije
Beograd, Bulevar kralja Aleksandra 73

Urednici: prof. dr Zlatko Marković
v.prof. dr Ivan Ignjatović
prof. dr Boško Stevanović

Tehnički urednik: v.prof. dr Jelena Dobrić

Tehnička priprema: doc. dr Nina Gluhović
doc. dr Marija Todorović
Isidora Jakovljević

Gafički dizajn: Tijana Stevanović

Dizajn korica: Tijana Stevanović

Štampa: Grafopak, Arandelovac

Tiraž: 200 primeraka

Beograd, maj 2021.

S-30	<i>Uroš Mirković, Slobodan Radovanović, Nikola Divac, Snežana Vulović - UTICAJ ZAVESE I DRENAŽNIH BUŠOTINA NA FILTRACIONU SLIKU U TEMELJNOJ SPOJNICI GRAVITACIONIH BRANA</i>	407
S-31	<i>Uroš Mirković, Vladan Kuzmanović, Goran Todorović - TERMIČKA ANALIZA GRAVITACIONE BETONSKE BRANE U FAZI IZGRADNJE I EKSPLOATACIJE</i>	416
S-32	<i>Uroš Mirković, Vladan Kuzmanović - PRORAČUN TERMIČKIH NAPONA GRAVITACIONE BETONSKE BRANE U FAZI IZGRADNJE I EKSPLOATACIJE</i>	426
S-33	<i>Faris Trešnjo, Azra Mahinić - PRIMJENA METODE PRITISNUTIH ŠTAPOVA I ZATEGA NA VISOKOSTIJENOM NOSAČU</i>	436
S-34	<i>Petar Subotić, Duško Lučić - PREGLED METODA ZA ODREĐIVANJE PRORAČUNSKOG OPSEGА NAPONA PREMA EN 1993-1-9</i>	448
S-35	<i>Nikola Božović, Jovana Ivanović, Olga Đurić-Perić - METODOLOGIJA PRORAČUNA ANKERA PREMA EN1992-4 SA OSVRTOM NA STARE SRPS PROPISE</i>	454
S-36	<i>Snežana Mašović, Nenad Pecić, Saša Stošić, Dragan Mašović - NOVI PROPISI ZA SAOBRAĆAJNA OPTEREĆENJA DRУMSKIH MOSTOVA</i>	464
S-37	<i>Zlatko Marković, Jelena Dobrić, Milan Spremić - NOVA GENERACIJA EVROKODA 3 – NAJAVAŽNIJE IZMENE</i>	474
S-38	<i>Jelena Skoković - U KORAK SA DRUGOM GENERACIJOM EVROKODOVA – DOSADAŠNJA ISKUSTVA I PROJEKCIJE</i>	484
S-39	<i>Nemanja Jakovljević, Ivan Milićević, Branko Milosavljević - ANALIZA RAZLIČITIH MODELA UTEZANJA AB ZIDOVА SLOŽENIH POPREČNIХ PRESEКА PREMA EVROKODU 8</i>	492
S-40	<i>Mladena Luković, Zhekang Huang and Dick Hordijk - DUKTILAN BETON (SHCC) ZA KONTROLISANJE ŠIRINE PRSLINA U ARMIRANOBETONSKIM GREDAMA</i>	504
S-41	<i>Aljoša Filipović, Jelena Dobrić, Dragan Blagojević, Mileva Samardžić – Petrović, Dragan Buđevac, Zlatko Marković - POČETNE IMPERFEKCIJE STUBOVA RAVNOKRAKOG L POPREČNOG PRESEKA OD NERĐAJUĆEG ČELIKA</i>	513
S-42	<i>Zoran Mišković, Siniša Savatović, Marko Popović, Marina Latinović - ODREĐIVANJE PRIGUŠENJA I MODALNIH KARAKTERISTIKA MODELA NOSAČА PRIMENOM WAVELET TRANSFORMACIJE</i>	523